



Коммуникация

Фотохромные свойства неорганических-органических веществ в видимом свете Гибридная тонкая пленка фосфомолибденовой кислоты/политиофена

Ваньцин Чжао ¹, Хунмэй Чжао ¹, Вэй Фэн ² и Хунган Чжао 1,*

- ¹ Школа химии и химического машиностроения, Синьцзянский педагогический университет, Урумчи 830054, Китай
- 2 Ключевая лаборатория ресурсов подземных вод и окружающей среды, Министерство образования, Университет Цзилинь, Чанчунь

130021, Китай * Адрес для переписки: xjnu1609@xjnu.edu.cn

Аннотация: Синтезирована гибридная фотохромная пленка видимого света на основе соединения фосфорномолибденовой кислоты (ФМоА) с политиофеновой (ПТх) матрицей. Микроструктура и фотохромные свойства материалов были проанализированы с помощью атомно-силовой микроскопии (АСМ), инфракрасной спектроскопии с преобразованием Фурье (FTIR), рентгеновской фотоэлектронной спектроскопии (XPS) и ультрафиолетово-видимых спектров (УФ-видимая область). Согласно спектрам FTIR, геометрия РМоА и РТh хорошо сохранилась в гибридной пленке, и на границе раздела РМоА и РTh существует сильное взаимодействие. РФЭС-спектры выявили изменение химического микроокружения и восстановление атомов Мо6+ в реакции фотовосстановления . Под воздействием видимого света композитная пленка меняла цвет с прозрачной на синюю и постепенно углублялась, образуя гетерополисиний цвет. Гибридная пленка также демонстрирует обратимость в присутствии кислорода. Результаты показали, что фотохромная реакция несовместима с механизмом фотоиндуцированного переноса электрона.

Ключевые слова: фосфорномолибденовая кислота; политиофен; фотохромизм; гибридный фильм



Цитирование: Чжао, В.; Чжао, Х.; Фэн, В.; Чжао, Х. Фотохромные свойства в видимом свете гибридной тонкой пленки неорганической-органической фосфомолибденовой кислоты и политиофена.
Химия 2024, 6, 469–475. https://doi.org/

Академический редактор: Маттиас Леманн

Поступила: 25 апреля 2024 г.
Пересмотрено: 1 июня 2024 г.
Принято: 5 июня 2024 г.
Опубликовано: 7 июня 2024 г.



Копирайт: © 2024 авторов

Лицензиат MDPI, Базель, Швейцария.
Эта статья находится в открытом доступе.
распространяется на условиях и
условия Creative Commons
Лицензия с указанием авторства (CC BY)
(https://creativecommons.org/licenses/by/

1. Введение

Фотохромные материалы рассматривались как перспективное направление исследований в области функциональных материалов и применялись в области оптических материалов для хранения информации, фотоэлектрических устройств, оптического переключения и биомедицинских исследований [1–4]. В последние годы разработка неорганических/органических композиционных материалов и внедрение в их приготовление технологии самосборки, темплатной химии и других методов значительно улучшили фотохромные свойства материалов, обеспечив более широкое направление при

Гетерополиоксометаллаты являются одними из самых популярных фотохромных материалов благодаря их высокой окислительной восстанавливаемости, высокой протонной проводимости и отличной растворимости [7,8]. Чтобы увеличить потенциал применения гетерополиоксометаллатов, были предприняты попытки ввести их в полимерные сетки для улучшения физических свойств фотохромных материалов, таких как механическая прочность, оптическая прозрачность и обрабатываемость [9–11]. Гетерополиоксометаллаты в качестве анионных носителей заряда использовались в неупорядоченных пленках, таких как золь-гель пленки, путем связывания с катионными группами на цепях органических полимеров посредством слабых взаимодействий, таких как водородная связь, электростатическая сила и сила Ван-дер-Ваальса. Сан и его коллеги [12] синтезировали гибридную пленку РМоА/поливинилпирролидон (ПВП) и обнаружили, что основной причиной фотохимической реакции является перенос протона между РМоА и матрицей PVPd. Взаимодействие полиоксометаллатов и полимера посредством нековалентных связей предложило полезный подход к улучшению физических и химических свойств неорганических/органических фотохромных материалов.

Политиофен (PTh) обладает хорошей фотоэлектрической стабильностью, хорошими пленкообразующими свойствами, высокой проводимостью и низкой шириной запрещенной зоны 2,02 эВ, что имеет большой потенциал применения в фотоэлектрической химии. PTh имеет большую π-сопряженную электронную систему, и его способность отдавать электроны лучше, чем у полипиррола и полианилина. ПТГ может образовывать

Химия 2024, 6

Политиофен (PTh) обладает хорошей фотоэлектрической стабильностью, хорошими пленкообразующими свойствами, высокой проводимостью и низкой шириной запрещенной зоны 2,02 эВ, что имеет большой потенциал применения в фотоэлектрической химии. PTh имеет большую π-сопряженную электронную систему, и его 470

способность отдавать электроны лучше, чем у полипиррола и полианилина. РТh может образовывать мостик переноса заряда переноса заряда с гетерополиоксометаллатами и гетерополиоксометаллатами, а поли-мостик переноса заряда Мбравет срострамокомуют былы объедилетероводиры домала льявамим и/ читывая эти свойства РТh, полимерные подложки Ф bt омугул былы сведили в при полимерные подложки ф bt омугул былы сведили в при полимерные подложки ф в полимерные подложки полимерные подложки полимерной матрицей в полимерной матрицей РМ од и РТh. Был исследован механизм переноса между полимерной матрицей РМ од и РТh.

2. Материалы и методы 2. Материалы и методы

2.1. Подготовка 2.1. Подготовка

Посфомолибденовую кислоту (НЗРМо12О40, РМоА) использовали повторно после вторичной перекристалийзации. Посфомолибденовую кислоту (НЗРМо12О40, РМоА) использовали повторно после вторичной перекристалийзации. Посфомолибденовую кислоту (НЗРМо12О40, РМоА) использовали в том виде, в котором они были получены, без дополнительной очистки. Субстраты сначала погружали в раствор Пираньи (серная кислота: перекись водорода = 7:3). Субстраты сначала погружали в раствор Пираньи (серная кислота: перекись водорода = 7:3). Субстраты сначала погружали в раствор Пираньи (серная кислота: перекись водорода = 7:3). Субстраты сначала погружали в раствор Пираньи (серная кислота: перекись водорода = 7:3). Объемное отношение в течение 1440 мин при 353 к и затем последовательно промывали деионизированной водой траз. После промывки этиловый спирт несколько консервивовати в ацетоне для дальнейшего использования.

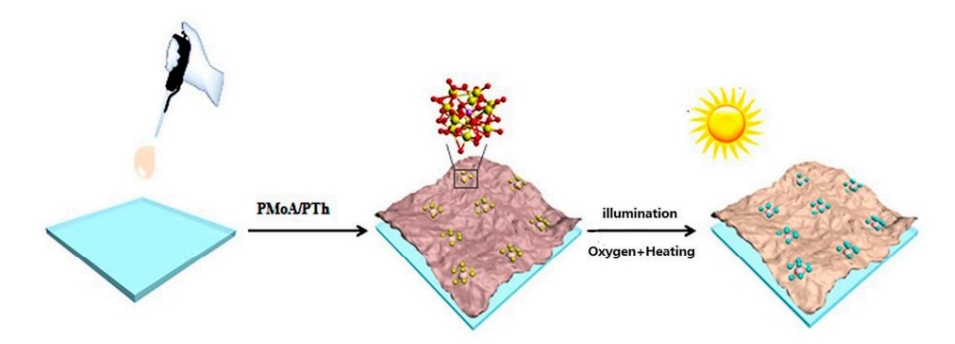


Рисунок 1. Процесс синтеза и фотохромная реакция.

Рисунок 1_{е П}ронесс синтеза и фотохромная реакция.

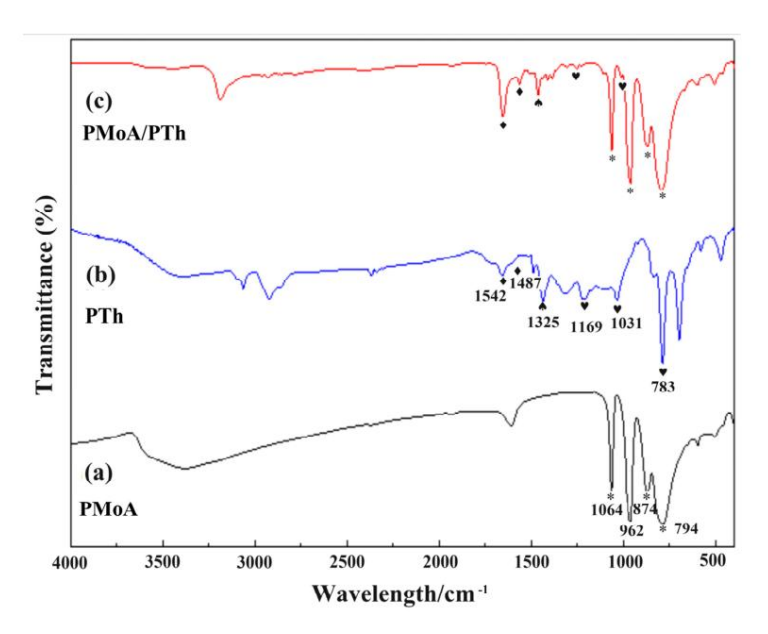
2.2. ХАРБМ-1930 СПРАЖЕНИЯ Образцов были получены на атомно-силовом микроскопе 300 В (Seiko, Токио, Япония). Спектры FTIR определялись с помощью инфракрасного преобразователя Фурье Nicolet 550. (Николет, Мэдисон, Висконсин, США) в диапазоне волновых чисел 500—4000 см-1 . ХРS ВВ (Seiko, спектрометр Токио, Япония), Спектры FTIR определялись в диапазоне волновых чисел 500—4000 см-1 . ХРS ВВ (Seiko, спектрометр Токио, Япония), Спектры FTIR определялист в диапазоне волновых чисел 500—4000 см-1 . ХРS Определяния и проводили на фотоэлектронном спектрометре высыса в диапазоне виденской связи образцов. Кривье на получения и пределяния и предел

Фотохромные эксперименты проводились с использованием ксеноновой лампы мощностью 300 Вт (PLS-SXE, Пекин). Perfectlight Technology Co., Ltd., Пекин, Китай) с УФ-фильтром (проходит выше 400 нм) длина волны) в качестве источника видимого света без каких-либо других источников света. Расстояние между лампа и пленка были отрегулированы на 150 мм. Были проведены эксперименты по облучению видимым светом. проводят на воздухе для получения серии кривых поглощения при различном облучении.

Фотохромные эксперименты проводились с использованием ксеноновой лампы мощностью 300 Вт (PLS-SXE, Beijing Perfectlight Technology Co., Ltd., Пекин, Китай) с УФ-фильтром (пропускающим длину волны более 400 нм) в качестве источника видимого света без какого-либо другого света. источники. Расстояние между лампой и пленкой водилось до 150 мм. Эксперименты по облучению видимым светом были проведены на воздухе для получения серии кривых поглощения при разном времени облучения. Затем композитную пленку выдерживали в темноте для <u>পার্বরিমারের на временем отбеливания. Затем композитную пленку держали в темноте для наблюдения за процессом</u> оПРИЧЕСКАЯ СОЛТРЕССТВУВИЧЕЯ СПОЕЛИШЕНИЕ ИЗМЕРДИИ АБЫЛИ проведены все эксперименты и измерена соответствующая

33.Ресуулытааты

НТІКРОГРЫКТІРЫК БИЛСТЫЗІ РАМОА, РТІТИЛИТУРОГРИДЬНЫХ НОЛ ФИЛОКЛЕТЬ ЗВІДИЛОГІ В ТОТІТИЛИТУРОГРИДЬНЫХ ВІДИЛОГІВ В ТОТІТИЛИТУРОГРИДЬНЫХ В ТОТІТИЛИТУРОГРИТУРОГРИДЬНЫХ В ТОТІТИЛИТУРОГРИДЬНЫХ В ТОТІТИЛИТУРОГРИДЬНЫХ В ТОТІТИЛИТУРОГРИДЬНЫХ В ТОТІТИЛИТУРОГРИ 400 ADOQ GMTL TOKAZAKI E MADHENHERA TOMEK ENTI 94ECHMADERU 15AA GMTLXD 14876MTL пилимифетричные валентичьсе в политиофенового кольца соответственно. Xаражтаруистинасский птик потлощения при 18 25 ссм 11 был от нассенк вылентному колабанию XС κ алебекwетнGе $^{\infty}$ д \in Формолилионнvое $^{\infty}$ ное $^{\infty}$ ие связи СН политиофенового кольца. Поглощение. ·PANK ADA*T 1*834 URH MBJADAYA TAREARA TAREARA TERBARA TERBARA TAREARA ርዛይሄቭፄ<u>ክ</u>ኒቬ∰ብልсይሂዘነብՁሄֈ₿₴₱ለየዕሊ፣፵ኀ6፣ያኒሂ፟፟፟፟፟፟ያኔ፟፝ዾ፟፝ቇ፞፞፞፞፞ዸተ на то, что структура ПТГ не повреждена. ПТГ не повреждена и не РЯЗНУ <mark>НЕЗН</mark>УВЕЛИЕЯ ВИЧИОЙ ЛДЯВИЙ ЛАЯВИЙ ЛЕГКЕМ ЗТРЕСИКЕТОЯ «ТЕЛЖЕТСРВ ЛДТГ БЕМЯТИВЕСТВЕТО В КОМПОЗИТНОЙ ПЛЕНКЕ. в составном фильме.



Ремскун-кож 22. FTT FR сстенстрын PPW кож, PPT In ин пибериндиной пиленкии PM кож/PTIn.

BCFREXTPSePMRAXPFThThPURXTFTFBYNTTYGFFBIPSETXBYBYHFBBABRIAGH6H62BGABAGABGABGABAGABAA, 874 и 794-7941 CM-0-1 be COBVERTICE BY ASHAME JOEGA CARMONE SARE SAMON WAS A COMPAND TO MOST SAMON SAMO

таковым чистый РМоА и есть только некоторые изменения, ОС-МО, которые аналогичны таковым чистого РМОА и имеют лишь некоторые изменения. Это демонстрирует , что геометрия Кеггина ПМоА сохраняется в композитной пленке. показывает, что геометрия Кеггина ПМоА сохраняется в композитной пленке. Длина инфракрасной инфракрасной

показывает, что геометрия Кеггина ПМоА сохраняется в композитной пленке. Длина инфракрасной инфракрасной волны РМоА в композитной пленке преобразуется за счет улучшенного Длина волны РМоА в композитной пленке трансформируется за счет усиления кулоновского кулоновского взаимодействия между РМоА и полимерной подложкой, и происходит перенос заряда. происходит перенос заряда. Изображения АСМ (рис. 3) отображанот морфологию поверхности чистого ПТГ и ПМоА/ПТг. Изображения АСМ (рис. 3) отображанот морфологию поверхности чистого ПТГ и ПМоА/ПТг. Изображения АСМ (рис. 3) отображанот морфологию поверхности чистых ППГ и гибридных пленок ПМоА/ПТх до и после облучения видимым светом. Пленка ПТГ (рис. 3а) демонстрирует гибридные пленки до и после облучения видимым светом. Пленка РТГ (рис. 3а) демонстрирует структуру в форме пика-пика с одинаковым размером частиц и среднекваратичным значением шероховатости (RMS). профилированная структура с аналогичным размером частиц и среднекваратичной шероховатостью (RMS) составляла 7 нм. Как показано на рисунках Зр.с, морфология пленки явно изменилась после сучетания РТ» и РМоА. 7 нм. Как показано на рисунках 3b,с, морфология пленки явно изменилась после сочетания PTh и PMoA; Среднеквадратическая длина гибридных пленок PMoA/PTh составила 18 нм (по сравнению с комбинация ПТГ и ПМоА; Среднеквадратичное значение гибридных пленок PMoA/PTh составляло 18 нм (по сравнению с 7 нм для PTh). Можно предположить, что взаимодействие водородных связей между ПТх

полимерным цепям мешает действие частиц ПМоА при взаимодействии сила водородных связей между полимерными цепями РМоА и РТh. После оптического света при освещении среднеквадратичное значение композитных пленок PMoA/PTh увеличилось с 18 до 31 нм, что указал на образование гетерополи синего в реакции фотовосстановления и переносе протона. увеличил пространственный угол полимера PTh.

протонный транс увеличивал пространственный угол полимера PTh. Химия 2024, 6

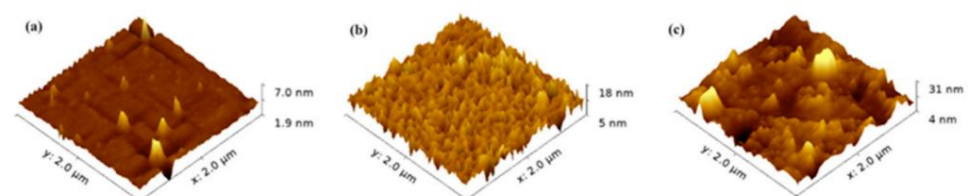


Рисунок 3. АСМ-изображения (а) чистого PTh и композитных пленок PMoA/PTh (b) до и (с) после облучения ВИДНИВИНОВ ЗТОМОМ-изображения (а) чистого ПТГ и композитных пленок ПМоА/ПТх (б) до и (в) после видимого световое облучение.

Рисунок Здабикенвобрежеблуянания интервальный перенос заряда (IVCT) (Мо6+ Мо5+) [8]. В результате формат синел

Из гетерополи синего цвета в ходе фотохромного процесса гибридная пленка меняла цвет с тра-

нм, что свидетельствовало об образовании гетерополи синего в реакции фотовосстановления, а

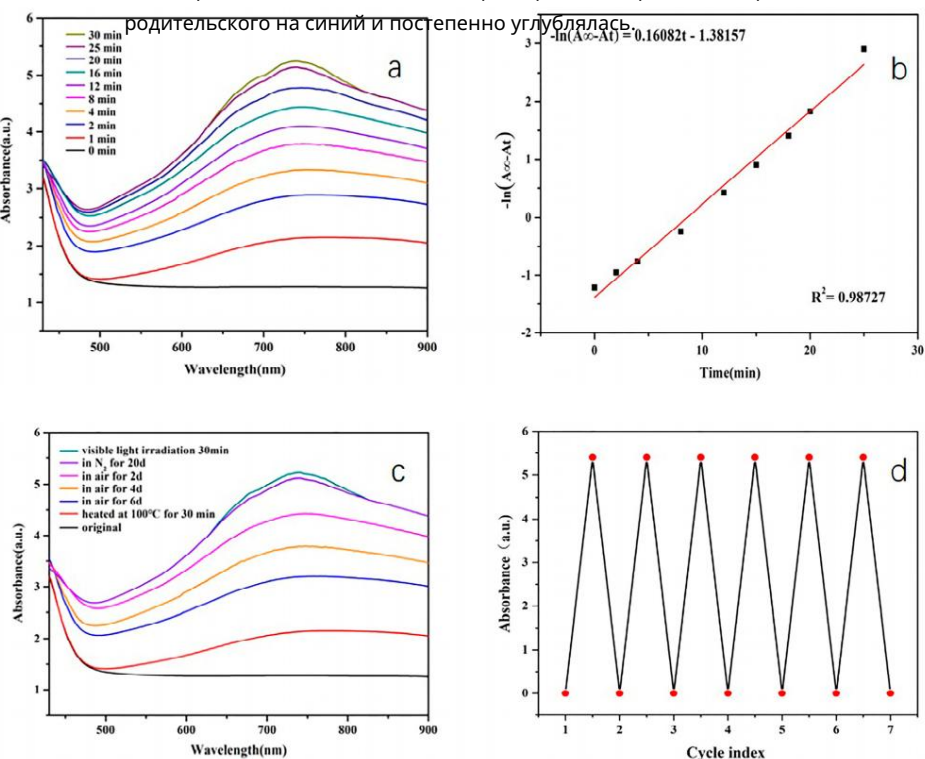


Рис. 4. (a) УФ-Вид спектры поглощения РМоА/РТh при различном времени облучения в окраске. процесс, (б) Кинетическая диаграмма фотохромного процесса первого порядка пленки РМоА/РТh, (в) УФ-Вид спектры поглощения РМоА/РТh в различных условиях процесса обесцвечивания, (г) обратимость цикла окраски пленки РМоА/РТh.

Далее был проанализирован кинетический процесс окраски PMoA/PTh при 740 нм. (Рисунок 46). Выявлено, что фотохромный процесс удовлетворяет следующим условиям первого порядка: кинетическое уравнение:

$$ln(A At) = kt + b$$

где A – значение оптической плотности при насыщении; At – значение поглощения при различных время облучения в процессе окрашивания; k — константа скорости. Константа скорости k процесса окраски составляет 0,16 мин-1. , что указывает на преимущества композитной пленки в фотохромный ответ.

Композитная пленка PMoA/ZnO/PVP

Октамолибдаты ароматического сульфония

Композитная пленка PMoA/PTh

Химия 2024. 6 473

> На рисунке 4с показан процесс выцветания гибридной пленки PMoA/PTh. Когда гибридную пленку PMoA/PTh помещали на воздух, цвет постепенно тускнел, но если гибридную пленку помещали в атмосферу N2 на 20 суток, цвет композитной пленки не исчезнет. Это явление указывает на то, что кислород играет ключевую роль в содействии изменение цвета гибридной пленки. Также было обнаружено, что нагрев может ускорить выцветание. процесс, поскольку поглощение уменьшалось на 80%, когда пленка была нагрета до 373 К в течение 30 минут.

> Эксперименты по циклу окраски-обесцвечивания были проведены для определения обратимость гибридной пленки PMoA/PTh. После облучения видимым светом для достижения насыщенного поглощения пленку можно было повторно использовать путем термообработки. Как показано на рисунке 4d, наблюдалось лишь небольшое изменение поглощения после 7-кратной переработки, демонстрируя, что Гибридная пленка РМоА/РТһ обладает благоприятными фотохромными свойствами и высокой стабильностью. и хорошая обратимость фотохромной пленки [13].

Как показано в таблице 1, гибридная пленка PMoA/PTh демонстрировала высокое максимальное поглощение по сравнению с другими репрезентативными образцами, что указывало на то, что эффект протонирования РМоА по отношению к PTh в тонкой гибридной тонкой пленке PMoA/PTh может увеличить максимальное поглощение и значительно улучшенные фотохромные свойства PMoA/PTh. гибридный фильм.

Фотохромный материал	Толщина образцов Максимальное поглощение		Ссылка
Гибридизация PMoA/PANI тонкой пленки	1,8 мкм	3,46	[10]
ZnO/ΠMoA	-	0,21	[14]
WO3 -x КД	-	2,75	[15]
Гибриды PVP/HTA	-	0,78	[16]
 Пленки с квантовыми точками CsPbBr3	-	0,78	[17]
KOMBODIATUDE BROUKS PMOA/7pO/PVP	-	0.32	[18]

2,0 мкм

Таблица 1. Сравнение максимального поглощения фотохромных материалов.

Для дальнейшего анализа изменения химического микроокружения в процессе фотохромизма были использованы РФЭС-спектры Mo 3d для гибридной пленки PMoA/PTh без и с облучения показаны на рисунке 5 и в таблице 2. Для гибридной пленки PMoA/PTh появились пики при 232,9 эВ и 236,0 эВ, относящиеся к 3d3/2 и 3d5/2 Mo6 + соответственно, а пики при 235,5 эВ и 231,8 эВ были отнесены к 3d3/2 и 3d5/2 Mo5 +., соответственно. Появление здесь характерных пиков Мо5+ можно предположить как Рентгеновское возбуждение. После облучения пики Мо6+ смещаются до 233,0 эВ и 236,2 эВ, а пики Мо5+ появляются при 231,7 эВ и 235,0 эВ. По сравнению с предыдущим спектром

3.2

5.27

[18]

[19]

Эта работа

при облучении энергия связи 3d Mo6 + увеличивается, а доля Mo5+ также увеличивается. увеличивается с 0,09 до 0,33, что связано с превращением Моб+ в Мо5+. Может быть пришли к выводу, что химическое микроокружение атомов Мо изменилось из-за реакция фотовосстановления.

Таблица 2. Энергии связи энергетического уровня Мо3d и отношения Мо5+/Мо гибридной пленки РМоА/РТh до и после освещения

Образец –	Mo5+		Mo6+		_ Соотношение Мо5+/Мо
ооразец	3d3/2	3d5/2	3d3/2	3d5/2	esomomerme mos vino
До	231,8	235,5	232,9	236,0	0,09
После	231,7	235,0	233,0	236,2	0,33

от 0,09 до 0,33, что объясняется превращением Мо6+ в Мо5+. Можно сделать вывод, что химическое микроокружение атомов Мо изменилось за счет фотовосстановления реакция.

Химия 2024, 6 474

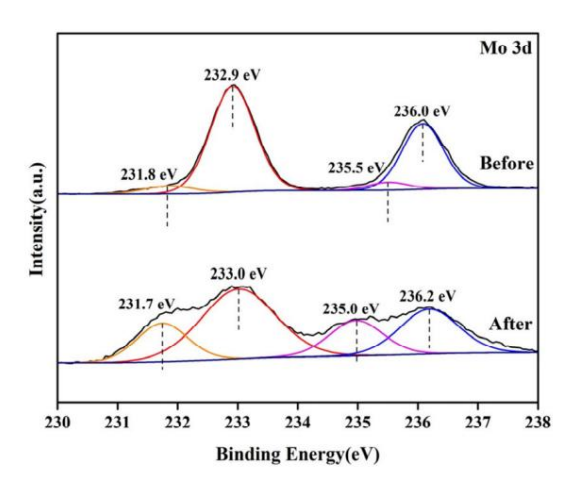


Рис. 5. РФЭС-спектры Mo 3d для гибридной пленки PMoA/PTh без и с облучением.

Чтобы объяснить вышеупомянутое фотохромное поведение, был изучен механизм гибридной пленки. Таблица 2. Энергии связи энергетического уровня Mo3d и отношения Mo5+7Mo гибридной пленки PMoA/PTh до и после офессиндовано. Фотохромные свойства неорганических/органических гибридных пленок в этом

бумаги в основном зависят от взаимодействия между неорганическими и органическими компонентами. Ионы Мо6+ Мо5+/Мо
Обра**жет**аллов Мо5+ в окисленных полиоксометаллатах имеют электронную конфигурацию d0 ; поэтому,
3d3/2 3d5/2 3d3/2 3d5/2
низкоэнергетических электронов 2р-орбиталей кислорода был возбужден до высокоэнергетического состояния металла.
Перед 231,8 235,5 232,9 236,0 0,09
d-орбиталями при облучении, что представляет собой так называемую связь кислород-металл (ОМ)-лиганд-металл.

После 233.0 0.33 231.7 (LMCT). Таким образом, заряды электрона и дырки были разделены, что обеспечило

условие стабильной окраски композитной пленки. Дырка, оставшаяся у атома кислорода

Чоб взабъющения в тиме и процессе Моб+ и про ^{расследов}йный врссстаные лявался деовгониа Моз Рровы в разум течероны и двых двых составание

^{бумаги в} ПН8ВН30Ы3ВИПБТ6ЦЕЗ2,ЧУЛ2ВРТБВИ ПНЕРЕДЫ ЕЯ?ОГРЗНОВС4ЧМО 54-ОРГЯНОЧЕКУИМИ КИСИЛОНОДТЭ МОД ДЕЙСТВИЕМ ионы металлов в окисленных полиоксометаллатах имеют электронную конфигурацию d0 ; поэтому, аэробных условиях, в результате чего полиоксометаллаты окислялись.

низкоэнергетические электроны 2р орбиталей кислорода были возбуждены до высокоэнергетического состояния металла. Показана схема фотохромного механизма гибридной пленки РМоА/РТh.

обробитали при облучении, что представляет собой так называемую связь кислород-металл (ОМ) лиганд-металл.

На рисунке 6. Из-за Протонирования электронная плотность РМоА уменьшилась во время
перенос заряда (LMCT). Таким образом, заряды электрона и дырки были разделены, что обеспечило

7

Химия 2024, 6, ДЛЯ ЭКСПЕРТНОИ РЕЦЕНЗИИ взаимодействия с ПТГ, вызывая тем самым спектральное красное смещение, которое подтвердило существование условие стабильной окраски композитной пленки. Дырка, оставщаяся у атома кислорода интерфейсное взаимодействие между РМОА и РТh. Под воздействием света гетерополикислота взаимодействовал с несвязывающими электронами на атоме серы РТh. В этом процессе Мо6+

атом восстанавливается до гетерополи синего, а протоны переходят в РМоА. произошел процесс, электрон перешел от атома Мо5+ к молекуле кислорода

в аэробных условиях, так что полиоксометаллаты окислялись. Схема фотохромного механизма гибридной пленки РМОА/РТ представлена на рис.

Рисунок 6. За счет протонирования электронная плотность РМоД уменьшалась во время взаимодействия с PTh, что вызвало спектральное красное смещение, кот<u>орое подтвердило существование границы разд</u>ела взаимодействие между РМоА и РТh. Под воздействием света гетерополикислота восстанавдивается.

в гетерополисиний, а протоны переходят в РМоА.

(b)

РВИ.С. С. ХЕХЕНФОФОХТОХИРИНИ МЕХЕНЕКАНИЗАНИЧЕЙ В ИНТРИМЕНТИВ В ИНТРИMENTИВ В ИНТРИМЕНТИВ В ИНТРИMENTИВ В ИНТРИMENTAL В ИНТРИMENTИВ В ИНТРИMENT пофреторые пореднежных расположения в профессов пореднечения в пореднечения в профессов пореднечения в пореднечения

4. Выводы 4. Выводы

Фотохромные материалы PMoA/PTh были приготовлены путем нанесения гибридного Фотохромные материалы PMoA/PTh были приготовлены путем нанесения гибридного раствора на подложку с образованием пленки. Геометрия PMoA и PTh была хорошей. раствор на подложке с образованием пленки. Согласно спектрам FTIR, геометрия PMoA и PTh хорошо сохранилась в гибридной пленке. При облучении протоны подается в гибридной пленке подантым FTIR спектров. При облучении протоны подается в гибридной пленке по данным FTIR спектров. При облучении протоны ортоорганического полимера возбуждаются и передаются в PMoA через мостик переноса заряда. Ганический полимер возбуждается и переносится в РМоА через мостик переноса заряда. Гетерогетерополи синий возник в результате реакции фотовосстановления, сопровождавшейся изменением полисиний возник в результате реакции фотовосстановления, сопровождающейся изменением химического микроокружения. Процесс отбеливания происходил за счет окисления атомов Mo5+. химическая микросреда. Процесс обесцвечивания происходил за счет окисления атомов Мо5+ до атомов Мо6+ в присутствии кислорода. Более того, гиоридный фильм имел благоприятное значение. атомам Мо6+ в присутствии кислорода. Более того, гибридная пленка обладала хорошей реверсивностью и стабильностью. Процесс протонирования между РМоА и матрицей PTh считался основной причиной фотохимической реакции.

Вклад автора:. WZ участвовал в общей организации всех экспериментов и подготовке оригинальных проектов. НZ (Хунмэй Чжао) внес свой вклад в эксперименты по фотохромным свойствам.

Химия 2024, 6 475

обратимость и стабильность. Процесс протонирования между PMoA и матрицей PTh считался основной причиной фотохимической реакции.

Вклад автора: WZ участвовал в общей организации всех экспериментов и подготовке оригинального проекта. HZ (Хунмей Чжао) участвовал в экспериментах по фотохромным свойствам, анализе и визуализации данных. ВФ участвовал в подготовке и характеристике образцов. HZ (Хунган Чжао) внес свой вклад в предоставление идей для всех экспериментов, методологии и надзора.

Все авторы прочитали и согласились с опубликованной версией рукописи.

Финансирование: Данное исследование не получило внешнего финансирования.

Заявление о доступности данных: данные содержатся в статье.

Конфликты интересов: Авторы заявляют об отсутствии конфликта интересов.

Рекомендации

- 1. Цинь, Б.; Чен, НҮ; Лян, Х.; Фу, Л.; Лю, Х.; Цю, Х.; Лю, С.; Сонг, Р.; Тан, З. Обратимая фотопереключаемая флуоресценция в тонких пленках неорганических наночастиц и полиоксометаллатных ансамблей. Варенье. хим. Соц. 2010, 132, 2886–2888. [Перекрестная ссылка] [ПабМед]
- 2. Гу, ХХ; Би, Л.Х.; Фу, Ю.; Ван, Н.; Лю, С.; Тан 3. Многосостоятельное электрически управляемое переключение фотолюминесценции. хим. наук. 2013, 4, 4371–4377. [Перекрестная ссылка]
- 3. Лу, Дж.; Чжан, Х.; Карта.; Сингх, В.; Чжан, К.; Ню, Дж.; Ван, Дж. Фотохромное поведение нового полиоксомолибдата/алкиламина. композит в твердом состоянии. Дж. Матер. наук. 2018, 53, 3078–3086. [Перекрестная ссылка]
- 4. Граца, В.К.; Соуза, СМ; Коэльо, П. К фотохромным материалам, окрашивающим серый цвет, с использованием винилиденнафтофуранов. Краситель. Пигмент. 2020, 176. [CrossRef]
- 5. Бао, Х.Ф.; Ван, ХҮ; Ян, GQ; Ли, Х.; Чжан, Ф.; Фэн, В. Фотохромизм неорганических и органических веществ в ультрафиолетовом и видимом свете.

 многослойные пленки на основе полиоксометаллата и полиакриламида. Коллоидный полим. наук. 2014, 292, 2883–2889. [Перекрестная ссылка]
- 6. Цзин, ХҒ; Цзоу, ДЛ; Мэн, QQ; Чжан, В.; Чжан, Ф.; Фэн, В.; Хан, Х. Изготовление и фотохромизм в видимом свете новой гибридной неорганическиорганической пленки на основе полиоксометаллатов и этилцеллюлозы. Неорг. хим. Коммун. 2014, 46, 149–154. [Перекрестная ссылка]
- 7. Чжан Дж.; Цзоу, К.; Тиан, Х. Фотохромные материалы: больше, чем кажется на первый взгляд. Адв. Матер. 2013, 25, 378–399. [Перекрестная ссылка] [ПабМед] 8. Тошихиро, Ю. Фото- и электрохромизм полиоксометаллатов и родственных материалов. хим. Ред. 1998, 98, 307–326.
- 9. Чен Дж.; МэйАй, Л.; Фэн, В.; Сюн, DQ; Лю, Ю.; Цай, В.М. Получение и фотохромизм нанокомпозитных тонких пленок на полиоксометаллате и полиэтиленгликоле. Матер. Летт. 2007, 61, 5247–5249. [Перекрестная ссылка]
- 10. Цзэн, Орегон; Го, С.Ю.; Солнце, Ю.Б.; Ли, З.; Фэн, В. Индуцированные протонированием улучшенные оптически-световые фотохромные свойства гибридной тонкой пленки неорганической-органической фосфомолибденовой кислоты и полианилина. Наноматериалы 2020, 10, 1839. [CrossRef] [ПабМед]
- 11. Лу, К.; Сан, Ю.; Лю, Дж.Л.; Ван, Х.; Лю, СЛ; Фэн, В. Повышенный фотохромизм композита гетерополикислота/поливинилпиролидон. пленка легированием TiO2. Дж. Прил. Полим. наук. 2015, 132, 41583. [CrossRef]
- 12. Сунь, Ю.; Ван, Х.; Лу, Ю.; Сюань, Л.; Ся, С.; Фэн, В.; Хан, Х. Получение и фотохромизм фосфомолибденовых кислот в видимом свете. Гибридная пленка кислота/поливинилпирролидон. хим. Рез. Подбородок. унив. 2014, 30, 703-708. [Перекрестная ссылка]
- 13. Вэй Ю.; Хан, Б.; Донг, З.; Фэн, В. Высокоорганизованные массивы нанотрубок ТіО2, модифицированные фосфомолибденовой кислотой, с быстрыми фотохромными характеристиками. Дж. Матер. наук. Технол. 2019, 35, 1951–1958. [Перекрестная ссылка]
- 14. Юэ, Т.; Хан, Б.; Ван, Х.; Залог.; Фэн, В. Мгновенные фотохромные характеристики композитных порошков на основе видимого света. на нанотрубках РМоА и ZnO. хим. Летт. 2019, 48, 851–854. [Перекрестная ссылка]
- 15. Лю Ци Ху Ч Ван, Х. Гидротермальный синтез квантовых точек оксида вольфрама с дефицитом кислорода с превосходными фотохромными свойствами. обратимость. Прил. Серфинг. наук. 2019, 480, 404-409.
- 16. Ли, Д.; Вэй, Дж.; Донг, С.; Ли, Х.; Ся, Ю.; Цзяо, Х.; Ван, Т.; Чен, Д. Новые гибриды РVР/НТА для многофункциональной переписываемой бумаги. Приложение ACS. Матер. Интерфейсы 2018, 10, 1701–1706. [Перекрестная ссылка] [ПабМед]
- 17. Кайд, С.М.; Альхарби, Ф.Х.; Беджа, И.; Назируддин, депутат Кнессета; Алдвейян А.С. Снижение порога усиленной спонтанной эмиссии в пленках квантовых точек CsPbBr3 путем управления компактным слоем TiO2. Наноматериалы 2020, 10, 1605. [CrossRef] [ПабМед]
- 18. Сонг, Т.; Ли, Дж.; Дэн, К.; Гао, Ю. Получение, характеристика, фотохромные свойства и механизм создания композитной пленки РМоА/ZnO/ПВП. Молекулы 2023, 28, 7605. [CrossRef] [Па6Мед]
- 19. Кумар А.; Гупта, АК; Деви, М.; Гонсалвес, Кентукки; Прадип, К.П. Инженерная многофункциональность гибридных полиоксометаллатов: ароматические октамолибдаты сульфония как превосходные фотохромные материалы и саморазделяющиеся катализаторы эпоксидирования. Неорг. хим. 2017, 56, 10325–10336. [Перекрестная ссылка] [ПабМед]

Отказ от ответственности/Примечание издателя: Заявления, мнения и данные, содержащиеся во всех публикациях, принадлежат исключительно отдельному автору(ам) и соавторам(ам), а не MDPI и/или редактору(ам). MDPI и/или редактор(ы) не несут ответственности за любой вред людям или имуществу, возникший в результате любых идей, методов, инструкций или продуктов, упомянутых в контенте.